

# 2022~2023 学年第一学期怀仁一中高三年级期末考试

## 理科综合

全卷满分 300 分, 考试时间 150 分钟。

### 注意事项:

1. 答卷前, 考生务必将自己的姓名、准考证号填写在答题卡上, 并将条形码粘贴在答题卡上的指定位置。
2. 回答选择题时, 选出每小题答案后, 用铅笔把答题卡上对应题目的答案标号涂黑。如需改动, 用橡皮擦干净后, 再选涂其他答案标号。回答非选择题时, 将答案写在答题卡上。写在本试卷上无效。
3. 考试结束后, 将本试卷和答题卡一并收回。
4. 本卷主要考查内容: 高考范围。

可能用到的相对原子质量: H 1 C 12 N 14 O 16 Na 23 Cl 35.5 Fe 56

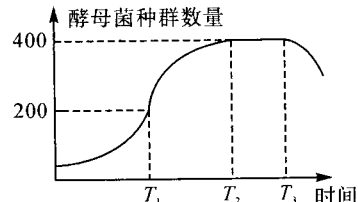
一、选择题: 本题共 13 小题, 每小题 6 分, 共 78 分。在每小题给出的四个选项中, 只有一项是符合题目要求的。

1. 念珠蓝细菌属于原核生物, 下列相关叙述正确的是
  - A. 该蓝细菌的叶绿体中含有藻蓝素和叶绿素, 是一种自养型生物
  - B. 该蓝细菌细胞膜的主要成分与真核生物类似, 都是糖类、磷脂和蛋白质
  - C. 该蓝细菌进化的原材料主要来自基因重组, 基因分布于环状 DNA 分子中
  - D. 该蓝细菌的 mRNA 可以同时与 DNA 和多个核糖体结合进而合成蛋白质
2. 梨在储存过程中会发生褐变现象, 其机理是梨中的过氧化物酶(POD)和多酚氧化酶(PPO)可在有氧条件下催化细胞中的酚类物质(可被聚乙烯聚吡咯烷酮 PVPP 去除)经过一系列酶促反应转化为褐色的多聚色素。下列叙述正确的是
  - A. 将梨置于 4℃ 的冰箱中储存能减缓其褐变过程
  - B. 为了抑制氧化酶的作用, 梨应该在无氧环境中储存
  - C. PVPP 可抑制 PPO 的活性, 从而减缓多聚色素的形成
  - D. POD 和 PPO 催化的机理是提高化学反应所需的活化能
3. 生命科学史中蕴含着丰富的科学思维和科学方法, 下列叙述正确的是
  - A. 赫尔希、蔡斯利用同位素标记和离心技术, 证实大肠杆菌的遗传物质是 DNA
  - B. 科学家利用同位素标记和密度梯度离心技术, 验证了 DNA 半保留复制假说
  - C. 格里菲思通过肺炎链球菌转化实验发现加热杀死的 S 型菌 DNA 可将 R 型菌转化为 S 型菌
  - D. 艾弗里利用物质提纯和微生物培养技术, 证明了 R 型细菌的遗传物质是 DNA
4. 自然界中的植物存在多种适应: 一些植物遇到敌害会释放挥发性萜类物质“告诉”同伴做好防御, 或者吸引敌害的天敌来消灭敌害; 而棉花根系分泌出的一种醌类化合物, 能被独脚金的草籽感知而萌发并寄生于棉花中。下列叙述错误的是

- A. 植物的这些适应特性是长期自然选择的结果  
 B. 天敌的存在使植物基因频率发生定向改变,形成特定的防御特性  
 C. 同种生物间、生物与天敌间在相互影响中的进化被称为协同进化  
 D. 利用人工合成的醌类化合物,可以起到生态防治杂草独脚金的作用

5. 某密闭容器中酵母菌的种群数量变化如图所示。下列叙述正确的是

- A. 图中  $T_1$  时刻种群的增长速率最大,  $T_1$  之前酵母菌数量增长符合“J”形增长  
 B. 若增加初始酵母菌数量,则  $T_2$  会左移  
 C. 可用血细胞计数板来精确统计酵母菌的数量  
 D.  $T_2 \rightarrow T_3$  段酵母菌种群数量达到  $K$  值, 种间竞争加剧, 此时出生率等于死亡率, 种群增长速率为 0



6. 味精(谷氨酸钠)是一种重要的调味品, 工业生产中常以玉米淀粉为原料来生产味精。味精的生产过程中一般包括糖化、发酵、提取谷氨酸晶体、精制谷氨酸钠晶体四道主要工序。下列有关说法错误的是

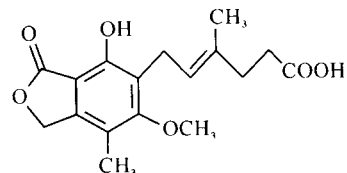
- A. 糖化过程使淀粉充分水解, 可添加酶制剂促进该过程的发生  
 B. 发酵过程中要随时取样检测培养液中的微生物数目、产物浓度  
 C. 谷氨酸棒状杆菌纯培养可以使用平板划线法或稀释涂布平板法  
 D. 菌种选育、扩大培养及配制培养基和灭菌是发酵工程的中心环节

7. 化学与生活、科技密切相关。下列叙述错误的是

- A. 酒精与 84 消毒液混合使用, 杀灭新冠病毒的效果会更好  
 B. 常用热的纯碱溶液清洗厨房灶具上的油污  
 C. 高速列车外壳使用的硬铝属于金属材料  
 D. 太空舱空间站中砷化镓太阳能电池工作时将太阳能转化为电能

8. 麦考酚酸是一种有效的免疫抑制剂, 能有效地防止肾移植排斥, 其结构简式如图所示。下列有关麦考酚酸的说法错误的是

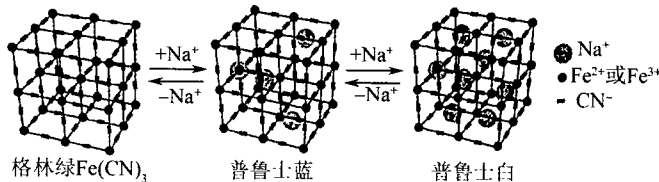
- A. 分子中碳原子的杂化方式有  $sp$ 、 $sp^2$   
 B. 既能与氯化铁溶液发生显色反应, 又能发生消去反应  
 C. 所含元素的电负性:  $O > C > H$   
 D. 1 mol 麦考酚酸最多能和 3 mol NaOH 反应



9. 下列图示实验能达到相应目的的是

A. 比较 $Cl_2$ 、 $Br_2$ 、 $I_2$ 的氧化性	B. 验证铁钉能发生析氢腐蚀	C. 比较 $AgCl$ 、 $AgI$ 的 $K_{sp}$ 大小	D. 研究温度对化学平衡的影响

10. 某种水性钠离子电池电极材料由  $\text{Na}^+$ 、 $\text{Fe}^{2+}$ 、 $\text{Fe}^{3+}$ 、 $\text{CN}^-$  组成, 其立方晶胞嵌入和嵌出  $\text{Na}^+$  过程中,  $\text{Fe}^{2+}$  与  $\text{Fe}^{3+}$  含量发生变化, 依次变为格林绿、普鲁士蓝、普鲁士白三种物质, 其过程如图所示。



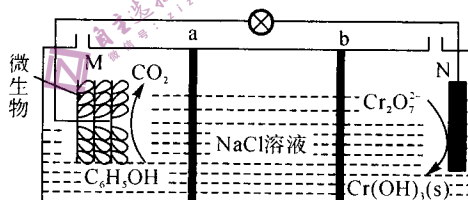
下列说法错误的是

- A. 基态  $\text{Fe}$  原子的价电子排布式为  $3\text{d}^6 4\text{s}^2$ , 失去  $4\text{s}$  电子转化为  $\text{Fe}^{2+}$
- B. 导电能力普鲁士蓝小于普鲁士白
- C. 普鲁士蓝中  $\text{Fe}^{2+}$  与  $\text{Fe}^{3+}$  个数比为  $1 : 2$
- D. 若普鲁士白的晶胞棱长为  $a \text{ pm}$ , 则其晶体的密度为  $\frac{8 \times 157}{a^3 N_A} \times 10^{30} \text{ g} \cdot \text{cm}^{-3}$

11. X、Y、Z、W 是原子序数依次增大的短周期不同主族元素, X 的  $2\text{p}$  轨道有两个未成对电子, Y 元素原子半径在同周期中最大, X 与 Y 最外层电子数之和与 Z 的最外层电子数相等, W 元素的单质常温下是淡黄色固体。下列说法错误的是

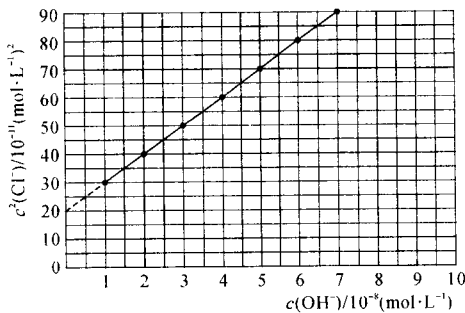
- A. 第一电离能:  $Z > W > Y$
- B. Y 在元素周期表中位于 s 区
- C. X 的单质形成的晶体一定是共价晶体
- D. Z 的最高价含氧酸的钠盐溶液中有四种含 Z 元素的微粒

12. 利用重铬酸钾( $\text{K}_2\text{Cr}_2\text{O}_7$ )处理含苯酚( $\text{C}_6\text{H}_5\text{OH}$ )的工业污水的装置如图所示, 其中 a 为阳离子交换膜, b 为阴离子交换膜。处理后的废水毒性降低且不引入其他杂质。该装置工作一段时间后, 下列说法错误的是



- A. 电子从 M 极流出, 经过外电路, 流入 N 极
- B. N 极的电极反应为  $\text{Cr}_2\text{O}_7^{2-} + 6\text{e}^- + 7\text{H}_2\text{O} = 2\text{Cr}(\text{OH})_3 \downarrow + 8\text{OH}^-$
- C.  $\text{H}^+$  由 M 极室迁移到中间室,  $\text{OH}^-$  由 N 极室迁移到中间室
- D. 每处理含 1 mol 苯酚的废水, 理论上外电路中迁移了 24 mol 电子

13.  $\text{RCl}$  饱和溶液中的  $c(\text{Cl}^-)$  随  $c(\text{OH}^-)$  而变化, 常温下  $c^2(\text{Cl}^-)$  与  $c(\text{OH}^-)$  理论关系如下图所示(调节溶液中的  $\text{OH}^-$  浓度不使用  $\text{HCl}$  和  $\text{ROH}$ )。下列说法错误的是  
已知:  $\text{ROH}$  为弱碱;  $K_{\text{sp}}(\text{RCl}) = 2 \times 10^{-10}$ 。



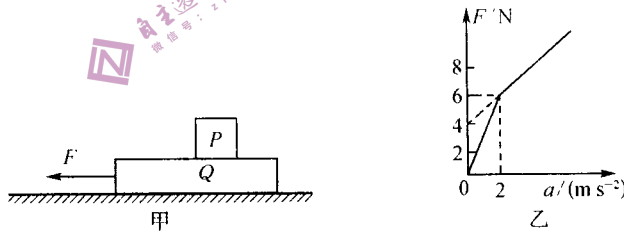
- A. 常温下  $pH=6$  时,  $c(Cl^-) > 1.5 \times 10^{-5} \text{ mol} \cdot \text{L}^{-1}$
- B. 当  $c(R^+) = c(ROH)$  时, 溶液中  $c(OH^-) = 3 \times 10^{-8} \text{ mol} \cdot \text{L}^{-1}$
- C. 常温下  $R^+$  的水解常数  $K_h(R^+) = 5 \times 10^{-7}$
- D. 曲线符合函数关系:  $c^2(Cl^-) = K_{sp}(RCl) \cdot c(OH^-) + \frac{K_{sp}(RCl) \cdot c(OH^-)}{K_b(ROH)}$

**二、选择题:**本题共 8 小题,每小题 6 分,共 48 分。在每小题给出的四个选项中,第 14~18 题只有一项符合题目要求,第 19~21 题有多项符合题目要求。全部选对的得 6 分,选对但不全的得 3 分,有选错的得 0 分。

14. 钴,银白色铁磁性金属,元素符号 Co,早期的中国就已知并用于陶器釉料。 $^{60}_{27}\text{Co}$  衰变的核反应方程为  $^{60}_{27}\text{Co} \longrightarrow ^{60}_{28}\text{Ni} + ^0_{-1}\text{e}$ ,其半衰期为  $\tau$ , $^{60}_{27}\text{Co}$ 、 $^{60}_{28}\text{Ni}$ 、 $^0_{-1}\text{e}$  的质量分别为  $m_1$ 、 $m_2$ 、 $m_3$ ,下列说法正确的是

- A. 经过  $\tau$  的时间,10 个  $^{60}_{27}\text{Co}$  核中有 5 个已经发生了衰变
- B.  $\gamma$  射线的穿透本领比  $\beta$  粒子弱
- C. 该核反应中释放的能量为  $(m_1 - m_2 - m_3)c^2$
- D.  $\beta$  粒子是  $^{60}_{27}\text{Co}$  核外的电子电离形成的

15. 如图甲所示,光滑水平面上静置一足够长的木板 Q,小滑块 P 放置于其上表面,木板 Q 在水平拉力 F 作用下,加速度  $a$  随拉力 F 变化的关系图像如图乙所示,则小滑块 P 的质量为



- A. 2 kg      B. 3 kg      C. 4 kg      D. 5 kg

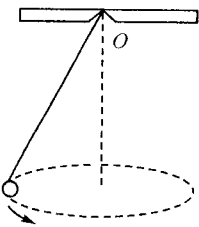
16. 如图所示,在水平直线上的 M、N 处,各有一条长直导线垂直穿过纸面,两条导线中通有流向相同的电流,电流大小分别为 I 和 2I,O 点是 M、N 连线的中点。下列说法正确的是

- A. 两导线受到的安培力  $F_N = 2F_M$
- B. 用  $F = ILB\sin\theta$  计算导线所受的安培力时  $\theta = 90^\circ$
- C. 移走导线 N 前后,O 点的磁感应强度方向不变
- D. 在离两导线所在的平面有一定距离的有限空间内,存在磁感应强度为零的位置



17. 如图所示,一根不可伸长的轻质细绳(绳长为  $L$ ),一端系着质量为  $m$  的小球(可视为质点),另一端悬于  $O$  点. 重力加速度大小为  $g$ ,当小球在水平面内做匀速圆周运动的角速度为  $\omega$  时,下列说法正确的是

- A. 细绳的拉力大小为  $2m\omega^2 l$
- B. 悬点  $O$  到轨迹圆心高度为  $\frac{2g}{\omega^2}$
- C. 小球的向心加速度大小为  $\sqrt{\omega^4 l^2 - g^2}$
- D. 小球的线速度大小为  $\sqrt{\omega^2 l^2 - \frac{g^2}{\omega^2}}$



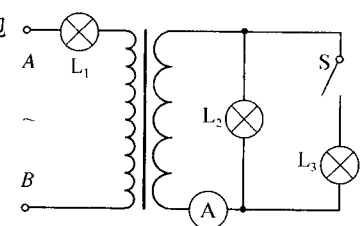
18. 两端封闭的玻璃管中间有一小段水银柱,开始左右两侧气体的体积相同,温度分别为  $5^\circ\text{C}$ 、 $10^\circ\text{C}$ ,则下列说法正确的是

- A. 当两侧气体升高相同的温度时,水银柱静止不动
- B. 当两侧气体升高相同的温度时,水银柱向右移动一段距离
- C. 左、右两侧升高的温度之比为  $1:2$  时,水银柱静止不动
- D. 左、右两侧升高的温度之比为  $1:2$  时,水银柱向右移动一段距离



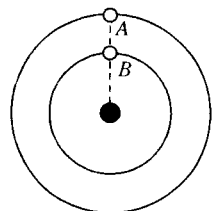
19. 如图所示,一理想变压器原线圈匝数 3000 匝,  $AB$  接在  $u = 18\sqrt{2} \sin 100\pi t$  (V) 的交流电源上. 电流表为理想电表,当  $S$  闭合后,三只“ $6\text{ V } 3\text{ W}$ ”的灯泡均正常发光. 则

- A. 变压器副线圈的匝数 1500 匝
- B. 输出端交流电的频率为  $50\text{ Hz}$
- C. 电流表的示数为  $2\text{ A}$
- D. 变压器原线圈两端电压为  $18\text{ V}$



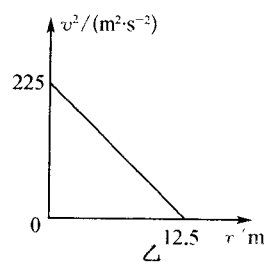
20. 中星 9B 卫星是地球同步轨道广播电视台直播卫星,具备为北京 2022 年冬奥会提供高质量直播传输服务的能力. 如图所示,两颗人造卫星  $A$ 、 $B$  都在赤道正上方同方向绕地球做匀速圆周运动, $A$  为地球同步卫星,某时刻  $A$ 、 $B$  相距最近. 已知地球自转周期为  $T_1$ , $B$  的运行周期为  $T_2$ ,则下列说法正确的是

- A. 卫星  $A$ 、 $B$  受到地球的万有引力大小一定不相等
- B. 经过时间  $\frac{T_1 T_2}{2(T_1 - T_2)}$ ,  $A$ 、 $B$  相距最远
- C.  $A$  的向心加速度小于  $B$  的向心加速度
- D. 在相同时间内,卫星  $A$ 、 $B$  与地心连线扫过的面积相等



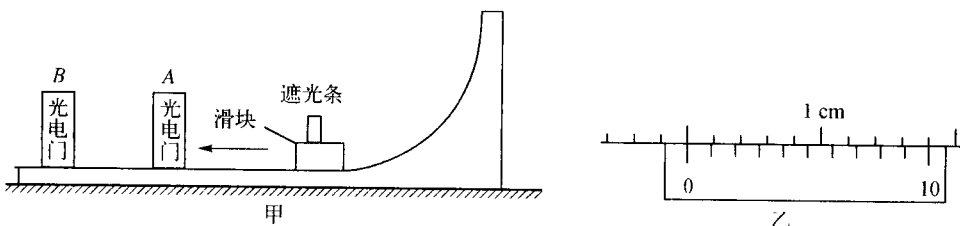
21. 如图甲所示,运动员正在进行蹦床比赛,取向上为正方向,运动员离开蹦床后的  $v^2 - x$  图像如图乙所示,运动员可视为质点,取重力加速度大小  $g = 10\text{ m/s}^2$ ,则下列叙述正确的是

- A. 运动员离开蹦床后加速度大小为  $9\text{ m/s}^2$
- B. 运动员在  $1.5\text{ s}$  时的速度大小为  $1.0\text{ m/s}$
- C. 运动员离开蹦床前的过程中,速度最大值是  $15\text{ m/s}$
- D. 运动员在最高点的速度为零,只受重力的作用



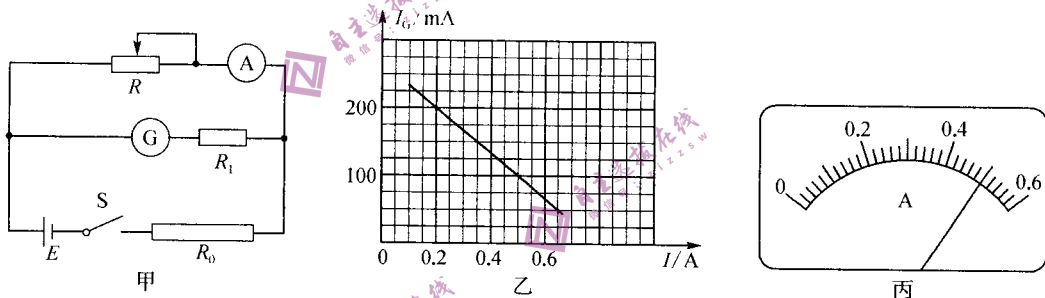
三、非选择题：共 174 分。每个试题考生都必须作答。

22. (6 分) 某同学使用如图甲装置测量滑块与木板间的动摩擦因数。滑块上装有遮光条，在滑块运动中途经固定在木板侧边的光电门 A、光电门 B，已知 A、B 之间的距离为 s，当地重力加速度大小为 g。回答下列问题：



- (1) 用游标卡尺测遮光条的宽度  $d$ ，如图乙所示，则  $d = \underline{\hspace{2cm}}$  mm。
- (2) 两个光电门同时连接计时器，让滑块从右侧弧形轨道上滑下，通过调整滑块下滑的初始高度，使滑块能依次通过两光电门，用计时器记录遮光片通过光电门 A 的时间  $\Delta t_1$  和通过光电门 B 的时间  $\Delta t_2$ ，滑块通过光电门 A、B 时的速度分别为  $v_A = \underline{\hspace{2cm}}$ 、 $v_B = \underline{\hspace{2cm}}$ 。（用已知量和需要测量量的字母表示）
- (3) 滑块与木板间的动摩擦因数  $\mu = \underline{\hspace{2cm}}$ 。（用字母“ $d$ 、 $g$ 、 $s$ 、 $\Delta t_1$ 、 $\Delta t_2$ ”表示）

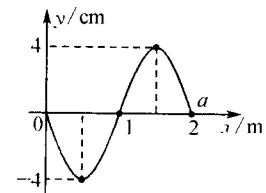
23. (9 分) 某实验小组用图甲所示电路测量电源 E 的电动势和内阻，图中的电流表最大量程为 0.6 A，定值电阻  $R_0$  阻值为  $2\Omega$ 。



- (1) 已知电流计 G 的满偏电流  $I_G = 200\text{ mA}$ 、内阻  $r_G = 0.50\Omega$ ，电路中已将它改装为最大量程 3 V 的电压表，则  $R_1 = \underline{\hspace{2cm}}\Omega$ （结果取 3 位有效数字）。
- (2) 通过移动变阻器 R 的滑片，得到多组电流表 A 和电流计 G 的读数，作出如图乙的图像。某次测量时，电流表的示数如图丙，则此时通过电源 E 的电流为  $\underline{\hspace{2cm}}\text{ mA}$ （结果取 3 位有效数字）；电源 E 的电动势等于  $\underline{\hspace{2cm}}\text{ V}$ （结果取 2 位有效数字），内阻等于  $\underline{\hspace{2cm}}\Omega$ 。（结果取 2 位有效数字）
- (3) 该实验测到的电源电动势测量的结果与准确值相比 偏大、偏小或相等。

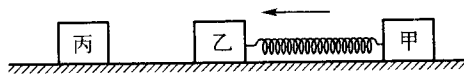
24. (12 分) 如图为一列沿  $x$  轴传播的简谐横波在  $t=0$  时刻的波形图，已知平衡位置在  $x=2\text{ m}$  处的质点 a 经  $t=0.1\text{ s}$  第一次到达波峰，求：

- (1) 该波的周期和传播速度；
- (2) 质点 a 在  $0\sim 2\text{ s}$  内运动的路程。



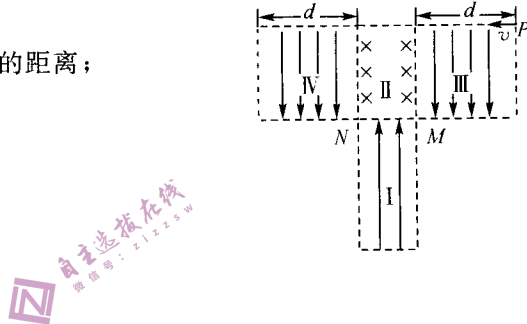
25.(15分)如图所示,质量均为2 kg的甲、乙两物体在光滑水平面上用轻弹簧相连,以6 m/s的速度向左滑动,弹簧处于原长状态,质量为4 kg的物块丙静止在乙的左边,乙与丙正碰后二者粘在一起运动,求:

- (1)乙与丙正碰后运动中弹簧弹性势能的最大值;
- (2)物体丙被碰后速度的最大值.

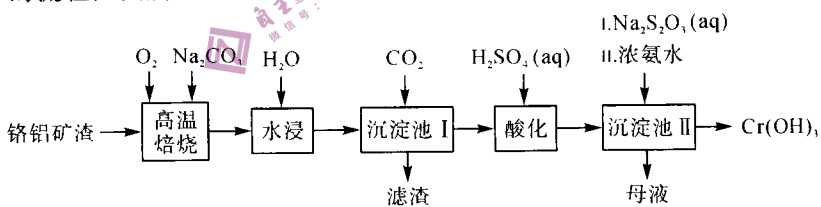


26.(20分)如图所示,MN下方足够长的区域Ⅰ内存在方向竖直向上的匀强电场,MN右上侧和左上侧的正方形区域Ⅲ和Ⅳ内存在方向竖直向下的匀强电场,MN上方的矩形区域Ⅱ内存在方向垂直纸面向里的匀强磁场.一个质量为 $m$ 、电荷量为 $q$ 的正离子以速度 $v$ 从 $P$ 点沿水平方向射入匀强电场,粒子先经过电场Ⅲ再经过磁场Ⅱ后恰从 $MN$ 中点竖直向下射入匀强电场区域Ⅰ.已知正方形边长均为 $d$ ,正方形区域Ⅲ和Ⅳ内匀强电场场强的大小均为 $E=\frac{mv^2}{qd}$ ,离子从 $P$ 点射入到离开电场Ⅳ区所用的时间为 $t_3=\frac{2d}{v}\left(1+\sqrt{2}+\frac{\pi}{8}\right)$ ,不计粒子的重力,求:

- (1)粒子第一次进入磁场时的位置与 $M$ 点之间的距离;
- (2)矩形区域Ⅱ内磁感应强度的大小;
- (3)矩形区域Ⅰ内电场强度的大小.



27.(14分) $\text{Cr}(\text{OH})_3$ 可用于制备铬颜料及铬盐,由铬铝矿渣(主要成分为 $\text{Cr}_2\text{O}_3$ 、 $\text{Al}_2\text{O}_3$ )制备 $\text{Cr}(\text{OH})_3$ 的流程如图所示:



已知:①高温焙烧可以使矿渣转化为可溶性盐。

②常温下, $K_{sp}[\text{Cr}(\text{OH})_3]=8 \times 10^{-32}$ 。溶液中金属离子的浓度 $\leqslant 1 \times 10^{-5} \text{ mol} \cdot \text{L}^{-1}$ 时,可认为该金属离子已沉淀完全。

回答下列问题:

- (1)“高温焙烧”产生的可循环利用的物质是\_\_\_\_\_ (填化学式)。
- (2)“高温焙烧”前,需将铬铝矿渣进行粉碎,目的是\_\_\_\_\_。
- “高温焙烧”时, $\text{Cr}_2\text{O}_3$ 发生反应生成+6价Cr的化合物的化学方程式为\_\_\_\_\_。

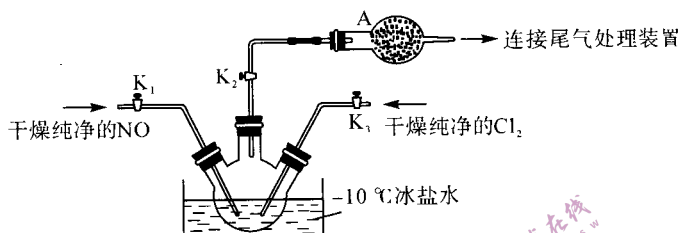
(3) 沉淀池 I 中通入  $\text{CO}_2$  后, 得到的滤渣为 \_\_\_\_\_ (填化学式), 请列举该物质的一种用途 \_\_\_\_\_。

(4) “酸化”时, 含铬微粒发生反应的离子方程式为 \_\_\_\_\_。

(5) 沉淀池 II 中加入  $\text{Na}_2\text{S}_2\text{O}_3$  溶液的目的为 \_\_\_\_\_。

(6) 常温下, 沉淀池 II 中加入浓氨水调节溶液的 pH 最小值为 \_\_\_\_\_ (已知:  $\lg 5 = 0.7$ )。母液的主要成分除  $(\text{NH}_4)_2\text{SO}_4$  外, 还有 \_\_\_\_\_ (填化学式)。

28. (14 分) 亚硝酰氯 ( $\text{NOCl}$ ) 常用于合成洗涤剂及中间体, 某学习小组在实验室利用  $2\text{NO} + \text{Cl}_2 \xrightarrow{-10^\circ\text{C}} 2\text{NOCl}$  反应制备  $\text{NOCl}$ , 实验装置如图所示 (夹持装置略去)。



已知: ①  $\text{NOCl}$  为红褐色液体或黄色气体, 熔点  $-64.5^\circ\text{C}$ , 沸点  $-5.5^\circ\text{C}$ , 遇水发生反应  $\text{NOCl} + \text{H}_2\text{O} \rightarrow \text{HNO}_2 + \text{HCl}$ 。

② NO 不与碱反应, 容易被空气氧化。

③ 难溶性盐  $\text{Ag}_2\text{CrO}_4$  为砖红色,  $\text{Ag}_2\text{CrO}_4$  的溶解度比  $\text{AgCl}$  的大。

回答下列问题:

(1)  $\text{NOCl}$  分子中各原子均满足 8 电子稳定结构, 则  $\text{NOCl}$  的电子式为 \_\_\_\_\_。

(2) 仪器 A 的化学名称是 \_\_\_\_\_。仪器 A 中盛装碱石灰, 碱石灰的主要作用是 \_\_\_\_\_。

(3) 实验时, 应先在三颈烧瓶内通入 \_\_\_\_\_ (填“ $\text{Cl}_2$ ”或“NO”), 后通入另一种气体前的标志是 \_\_\_\_\_。

(4) 实验中用  $\text{NaOH}$  溶液进行尾气处理, 欲使尾气中的 NO 被吸收后最终以  $\text{NO}_3^-$  存在, 理论上尾气中  $\frac{V(\text{Cl}_2)}{V(\text{NO})}$  应不小于 \_\_\_\_\_ (假设尾气中只含有 NO 和  $\text{Cl}_2$ )。

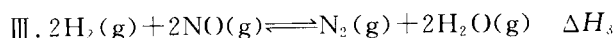
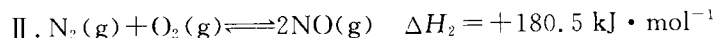
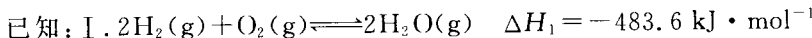
(5) 实验室若用  $\text{KClO}_3$  晶体与浓盐酸反应制取  $\text{Cl}_2$ , 反应的化学方程式为 \_\_\_\_\_。

(6) 测定产品中  $\text{NOCl}$  的纯度: 取三颈烧瓶中所得产物  $m$  g 溶于水, 配制成 250 mL 溶液, 取出 25.00 mL, 加入几滴  $\text{K}_2\text{CrO}_4$  溶液作指示剂, 用  $c \text{ mol} \cdot \text{L}^{-1}$   $\text{AgNO}_3$  标准溶液滴定至终点, 消耗标准溶液的体积为  $V$  mL。

① 滴定到终点时的现象是 \_\_\_\_\_。

② 产品中  $\text{NOCl}$  的纯度为 \_\_\_\_\_ (用含  $c$ 、 $V$ 、 $m$  的代数式表示)。

29. (15 分) 含氮化合物在生产、生活中有着广泛的用途。回答下列问题:



(1) 若反应 III 的逆反应活化能为  $E_{\text{逆}} \text{ kJ} \cdot \text{mol}^{-1}$ , 则正反应活化能为 \_\_\_\_\_  $\text{kJ} \cdot \text{mol}^{-1}$  (用含  $E_{\text{逆}}$  的式子表示)。

(2) 在恒容密闭容器中按投料比  $\frac{n(\text{H}_2)}{n(\text{NO})} = 1$  发生反应

Ⅲ, 不同催化剂条件下, 反应相同时间时, 测得 NO 转化率与温度的关系如图所示。

① 下列能够说明反应Ⅲ在某种条件下已达到化学平衡状态的是 \_\_\_\_\_ (填标号)。

- A.  $v_{\text{正}}(\text{NO}) = 2v_{\text{逆}}(\text{N}_2)$
- B. 混合气体的密度不再变化
- C. 200 ℃时, 容器内气体总压强不再变化
- D. 混合气体的平均相对分子质量不再变化

② 使用催化剂乙, 温度高于 350 ℃时, NO 转化率降低, 原因可能是 \_\_\_\_\_。

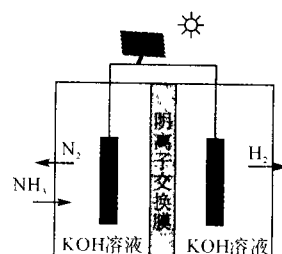
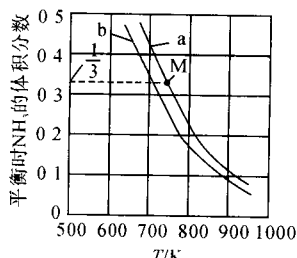
③ 研究表明该反应速率  $v = k \cdot c^m(\text{H}_2) \cdot c^2(\text{NO})$ , 其中  $k$  为速率常数, 与温度、活化能有关。 $T_1$  ℃的初始速率为  $v_0$ , 当  $\text{H}_2$  转化率为 50% 时, 反应速率为  $\frac{v_0}{8}$ , 由此可知  $m =$  \_\_\_\_\_。

(3) 工业上常利用反应  $3\text{H}_2(\text{g}) + \text{N}_2(\text{g}) \rightleftharpoons 2\text{NH}_3(\text{g}) \quad \Delta H < 0$  合成氨气, 在 30 MPa、不同物质的量分数(75% 的  $\text{H}_2$  和 25% 的  $\text{N}_2$ ; 67.5% 的  $\text{H}_2$ 、22.5% 的  $\text{N}_2$  和 10% 的惰性气体)条件下进行实验, 测得平衡时  $\text{NH}_3$  体积分数与温度的关系如图所示。

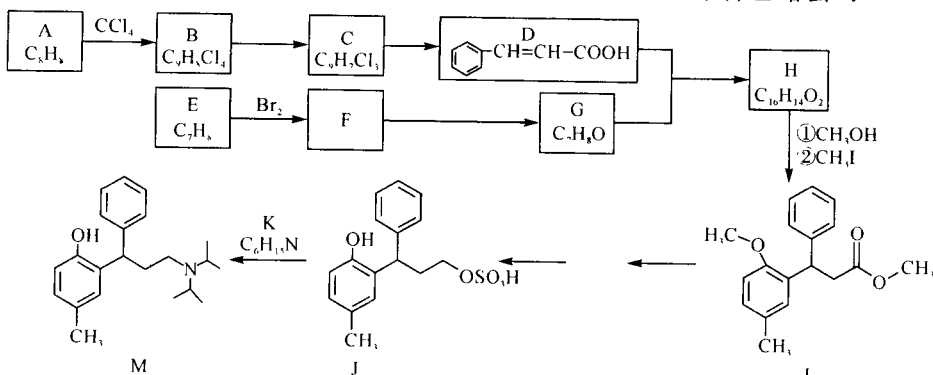
① 物质的量分数为 75% 的  $\text{H}_2$  和 25% 的  $\text{N}_2$  所对应的曲线是 \_\_\_\_\_ (填“a”或“b”)。

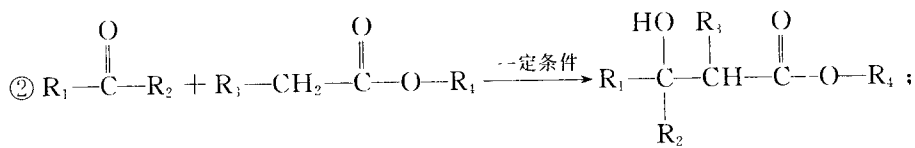
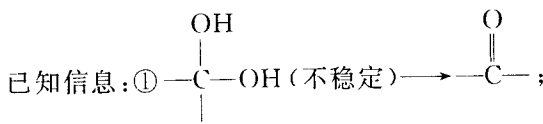
② M 点时,  $\text{N}_2$  的转化率为 \_\_\_\_\_. M 点对应温度下, 反应的压强平衡常数  $K_p =$  \_\_\_\_\_ (MPa) $^{-2}$  (用平衡分压代替平衡浓度, 分压 = 总压  $\times$  物质的量分数。保留两位有效数字)。

(4) 利用电解原理, 可将工业废气中的氨气转化为高纯氢气, 其装置如图所示。阳极的电极反应式为 \_\_\_\_\_。



30. (15 分) 托特罗定 M 可用于治疗尿失禁, 其合成路线如下(反应条件已略去):





③ G 遇  $\text{FeCl}_3$  溶液显紫色, 且 G 分子中有四种化学环境不同的氢原子;

④ H 分子中含有 3 个六元环和一种含氧官能团。

回答下列问题:

(1) M 的分子式是 \_\_\_\_\_, 化合物 K 的结构简式是 \_\_\_\_\_。

(2) 下列说法错误的是 \_\_\_\_\_ (填标号)。

A. 化合物 B 转化为 C 是消去反应, F 转化为 G 是取代反应

B. 化合物 C 转化为 D 的反应及 F 转化为 G 的反应都只需加入强碱后水解即可

C. 1 mol 化合物 I 与  $\text{NaOH}$  溶液反应, 最多消耗 2 mol  $\text{NaOH}$

D. 等物质的量的 A 和 D 完全燃烧消耗氧气的量相等

(3) 反应 D+G  $\longrightarrow$  H 的化学方程式为 \_\_\_\_\_。

(4) 碳原子上连有四个不同的原子或基团时, 该碳原子称为手性碳原子。M 分子中含有 \_\_\_\_\_ 个手性碳原子。

(5) M 的同系物 X( $\text{C}_{18}\text{H}_{22}\text{NO}$ ) 有多种同分异构体, 同时符合下列条件的同分异构体的结构



① 分子中含有 2 个独立的苯环;

② 核磁共振氢谱有五组峰; 红外光谱显示有 N—O 键, 无 O—H 键和 N—H 键。



(6) 设计由甲苯和乙酸酐( $\text{CH}_3\text{---C}(=\text{O})\text{---O---C}(=\text{O})\text{---CH}_3$ ) 制备化合物 D 的合成路线: \_\_\_\_\_  
(无机试剂任选, 合成中须用到

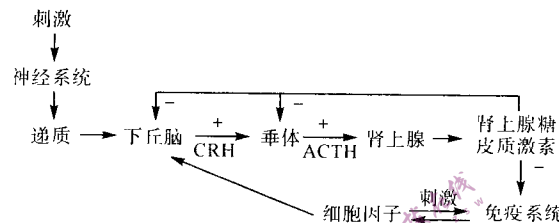
上述已知信息①、②)。

31. (10 分) 随着全球气候的变化, 干旱胁迫严重影响了小麦的产量。为研究干旱胁迫对郑麦 1860 的影响, 科研人员进行了如下实验。回答下列问题:

	根干重 ( $\text{g} \cdot \text{plant}^{-1}$ )	茎干重 ( $\text{g} \cdot \text{plant}^{-1}$ )	叶绿素含量 ( $\text{mg} \cdot \text{g}^{-1} \text{FW}$ )	气孔导度 ( $\text{nmol} \cdot \text{m}^{-2} \cdot \text{s}^{-1}$ )	净光合速率 ( $\mu\text{mol CO}_2 \cdot \text{m}^{-2} \cdot \text{s}^{-1}$ )
对照组	0.085	0.07	1.2	290	14
实验组	0.12	0.06	0.8	180	7

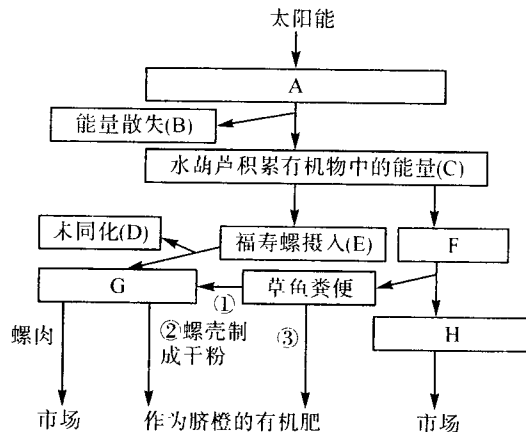
(1) 叶绿素主要吸收 \_\_\_\_\_ 光, 绿叶中色素的提取和分离实验中, 可以通过色带的 \_\_\_\_\_ 来比较各种色素的含量。

- (2)实验组中的植株应在\_\_\_\_\_（填“干旱”或“适宜”）环境中培养。实验组植株根干重/茎干重的比值\_\_\_\_\_（填“增加”“减小”或“不变”），有利于吸收养分、减少失水。
- (3)据表格分析，干旱胁迫下植株净光合速率下降的原因是\_\_\_\_\_。
- (4)研究表明，外源ALA可以缓解干旱胁迫。请在已有实验的基础上，再设计一组实验进行验证，请写出实验思路和预期结果：\_\_\_\_\_。
- 32.(10分)正常生理条件下，血液中糖皮质激素(GC)水平很稳定。应激(如热应激)和炎症标志物可刺激下丘脑—垂体—肾上腺轴(HPA)引起交感神经兴奋，下丘脑释放促肾上腺皮质激素释放激素(CRH)作用于垂体，垂体释放促肾上腺皮质激素(ACTH)调控肾上腺皮质分泌糖皮质激素，如图所示。回答下列问题：



- (1)据图可知，糖皮质激素的分泌受下丘脑和垂体的调控，此过程属于\_\_\_\_\_调节；健康人体内糖皮质激素浓度不会持续升高，说明其体内存在\_\_\_\_\_调节机制；当机体受到苦闷、压抑等精神刺激或外部环境变化刺激时，糖皮质激素分泌增加，该过程是由\_\_\_\_\_调节共同实现的。当血液中糖皮质激素含量减少时，ACTH的分泌量会\_\_\_\_\_，判断的理由是\_\_\_\_\_。
- (2)糖皮质激素的受体与\_\_\_\_\_（填“胰岛素”“甲状腺激素”或“性激素”）的受体在细胞中的位置相似。GC通过\_\_\_\_\_方式穿过细胞膜进入靶细胞，激活糖皮质激素受体(GR)，从而抑制免疫系统的功能。
- (3)研究证明，胸腺肽具有调节和增强机体细胞免疫功能的作用，其能够促进淋巴细胞成熟，可用于治疗免疫力低下引起的疾病及肿瘤。为验证胸腺肽的作用，科研人员利用若干健康的实验小鼠、甲泼尼龙注射剂(可获得免疫力低下的小鼠)、注射用胸腺肽、适宜的溶剂等实验材料，请简要写出实验设计思路：\_\_\_\_\_。

- 33.(11分)福寿螺原产于巴西亚马逊河流域，引入我国后，在南方十多个省市大面积分布，造成了较为严重的生态灾害和不可估量的经济损失。为了实现“变害为宝”，有人设计了“水葫芦—草鱼—福寿螺”的养殖新模式，下图为该模式部分能量流动和物质循环示意图。回答下列问题：



- (1) 调查福寿螺种群密度的方法是\_\_\_\_\_。福寿螺进入我国境内后,其数量在最初一年内呈“J”形增长,假设福寿螺迁入某地区时的初始数量为3500个,且每月增加1.23%,则半年后福寿螺的种群数量为\_\_\_\_\_ (用算式表示即可)。
- (2) 福寿螺主要集中在低洼浅水处,有人建议在一定季节尽量清除浅水区域的淤泥和杂草,或者引入福寿螺的原产地天敌,以抑制福寿螺种群的增长,但这两种方法均可能存在一定的负面效应,会威胁本地物种的生存,请对相关原因进行简要分析:\_\_\_\_\_。
- (3) 若F为草鱼的摄入量,则H表示\_\_\_\_\_,第一营养级和第二营养级之间的能量传递效率为\_\_\_\_\_ (用字母表示),过程\_\_\_\_\_ (填数字编号)实现了能量的多级利用,提高了能量的利用效率。

34. (12分) 某种雌雄异株的二倍体植物,其叶形有宽叶和窄叶之分,由等位基因A/a控制,其果实有有刺和无刺之分,由等位基因B/b控制,A/a和B/b均位于常染色体上。某研究小组进行了如下杂交实验:

实验一:纯合宽叶无刺果♀×纯合窄叶有刺果♂→F<sub>1</sub>植株均为宽叶无刺果

实验二:纯合窄叶有刺果♀×实验一所得F<sub>1</sub>中宽叶无刺果♂→宽叶无刺果:窄叶有刺果=1:2

实验三:纯合窄叶有刺果♂×实验一所得F<sub>1</sub>中宽叶无刺果♀→宽叶无刺果:窄叶无刺果:宽叶有刺果:窄叶有刺果=49:1:1:49

根据以上信息回答下列问题:

- (1) 由题可知,A/a和B/b两对基因所遵循的遗传规律的实质是\_\_\_\_\_,实验二亲本的基因型为\_\_\_\_\_。
- (2) 有人认为出现实验二结果最可能的原因是:F<sub>1</sub>宽叶无刺果雄株在形成精子时,这两对等位基因所在染色体没有发生互换,但所产生的\_\_\_\_\_类型的精子存在致死现象,其致死率为\_\_\_\_\_;F<sub>1</sub>宽叶无刺果雄株所产生的能存活的精子类型及比例为\_\_\_\_\_。
- (3) 若第(2)小题中的假设成立,在此基础上对出现实验三结果最合理的解释是\_\_\_\_\_。

35. (11分) 抗体—药物偶联物(ADC)通过将细胞毒素与能特异性识别肿瘤抗原的单克隆抗体结合,实现对肿瘤细胞的选择性杀伤,同时对正常细胞没有毒性。回答下列问题:

- (1) 制备ADC中所用抗肿瘤抗原的单克隆抗体时,首先需要利用基因工程技术建立肿瘤抗原表达载体,然后用抗原对小鼠进行免疫,使小鼠产生\_\_\_\_\_,此过程需要多次免疫小鼠的原因是\_\_\_\_\_。
- (2) 单克隆抗体制备过程中要经过两次筛选,第一次筛选的目的是\_\_\_\_\_,第二次筛选所用的方法是\_\_\_\_\_,经过筛选,最终得到的细胞的特点是\_\_\_\_\_。
- (3) 为了得到大量抗肿瘤抗原的单克隆抗体,可将抗体检测呈\_\_\_\_\_的杂交瘤细胞,在体外条件下大规模培养或\_\_\_\_\_,最终从细胞培养液或小鼠腹水中获得。
- (4) 单克隆抗体除了在ADC中的应用,在临床上的应用还有\_\_\_\_\_ (答出两点)。